

Zeitschrift: Schweizerische Bauzeitung
Herausgeber: Verlags-AG der akademischen technischen Vereine
Band: 69/70 (1917)
Heft: 7

Artikel: Der mehrfache Rahmen mit horizontal verschiebbarem und mit unverschiebbarem Balken
Autor: Gsell-Heldt, Robert
DOI: <https://doi.org/10.5169/seals-33930>

Nutzungsbedingungen

Die ETH-Bibliothek ist die Anbieterin der digitalisierten Zeitschriften. Sie besitzt keine Urheberrechte an den Zeitschriften und ist nicht verantwortlich für deren Inhalte. Die Rechte liegen in der Regel bei den Herausgebern beziehungsweise den externen Rechteinhabern. [Siehe Rechtliche Hinweise.](#)

Conditions d'utilisation

L'ETH Library est le fournisseur des revues numérisées. Elle ne détient aucun droit d'auteur sur les revues et n'est pas responsable de leur contenu. En règle générale, les droits sont détenus par les éditeurs ou les détenteurs de droits externes. [Voir Informations légales.](#)

Terms of use

The ETH Library is the provider of the digitised journals. It does not own any copyrights to the journals and is not responsible for their content. The rights usually lie with the publishers or the external rights holders. [See Legal notice.](#)

Download PDF: 02.04.2025

ETH-Bibliothek Zürich, E-Periodica, <https://www.e-periodica.ch>

von dem festen Zugangssteg unter allen Umständen und zu allen Jahreszeiten möglich blieb.

Am einfachsten wären diese Bedingungen zu erfüllen gewesen durch das Eintreiben einer Reihe um das Boothaus herum angeordneter Pfähle, gegen deren Verwendung jedoch nicht allein die Beschaffenheit des Seegrundes, sondern auch ästhetische und namentlich praktische, mit dem Bootbetrieb zusammenhängende Bedenken sprachen; es blieb also nur die Möglichkeit einer freischwebenden Verankerung mittels Ketten, deren Anordnung in Abb. 14 dargestellt ist.

Die seitliche Angriffsfläche für die Westwinde beträgt rund $95 m^2$, jene für die Süd-, bzw. S-O-Winde etwa $45 m^2$. Gestützt auf Angaben der meteorologischen Zentral-Anstalt wurde den bezüglichen Berechnungen eine grösste Wind-Geschwindigkeit von $25 m/sek$ mit einem Winddruck von $75 kg/m^2$ zu Grunde gelegt.¹⁾

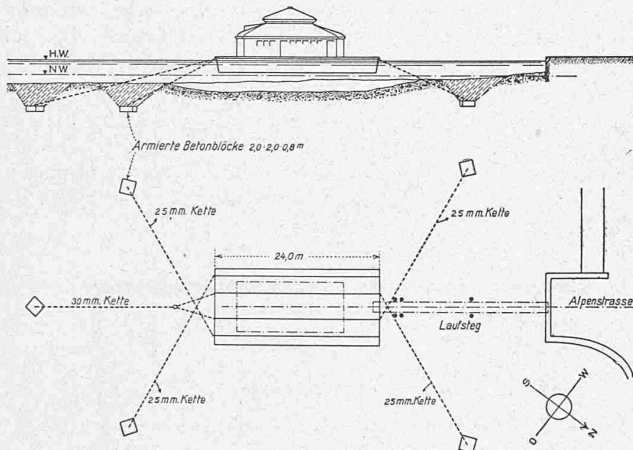


Abb. 14. Verankerung des Z.Y.C.-Boothauses. — Masstab 1:1000.

Für die Wahl der Ketten, ihrer Längen und Stärken waren zwar statische, auf den *Winddruck* allein sich stützende Berechnungen nicht ausschlaggebend; weit wichtiger als die blosser Aufnahme von Zugbeanspruchungen erschien bei dem Gewichte des ganzen Schwimmkörpers die Verhinderung von Beschleunigungen durch Wind und Seegang und damit die möglichste *Ausschaltung von Massenwirkungen*. Dies konnte nur durch die Anwendung langer, schwerer Ketten erreicht werden, die derart aufgehängt wurden, dass sie auch bei Niederwasser in möglichst grosser Länge freitragend bleiben. Die durch die Massenbewegung frei werdende Arbeit wird dann aufgenommen und vernichtet durch die zum Anstrecken der Ketten notwendige Arbeitsleistung und jede Bewegung muss zur Ruhe kommen, lange bevor Spannungen von beträchtlicher Grösse in den Ketten entstehen können.

Beobachtungen des Boothauses bei Sturm und bei Niederwasser haben die Richtigkeit dieser Annahmen und Berechnungen mehrfach bewiesen, und eine rein statische Beanspruchung der Ketten konnte niemals beobachtet werden. Bei starkem Westwind und losen Ketten bei Niederwasser gerät der Ponton in eine elliptisch kreisende Pendelbewegung; sein Mittelpunkt beschreibt dann eine Ellipse, deren grosse Axe etwa $1 m$ und deren kleine Axe etwa 20 bis $30 cm$ beträgt. Zu einer vollständigen Pendelbewegung braucht er 25 bis 30 Sekunden, und es hat sich gezeigt, dass selbst stärkste Böen nicht imstande sind, die Regelmässigkeit der Bewegung zu stören. Bei Hochwasser und weit straffer angezogenen Ketten ist die Bewegung des Pontons nicht mehr so regelmässig, aber auch nicht mehr so gross; die statischen Beanspruchungen treten dann in den Vordergrund, bleiben aber zufolge der weit geringeren Windgeschwindigkeiten, die während der Hochwasserperiode herrschen, innerhalb der zulässigen Grenzen. Zuzufolge der dem Boothaus vorgelagerten Anlage-Flösse und der

nach vorn gerichteten, schweren $30 mm$ „Föhnkette“, ist die Bewegung des Ganzen am vordern und hintern Ende nicht ganz gleich; es bewegt sich, namentlich bei Westwind, das hintere Ende bedeutend stärker.

Die schweren Ketten sind mittels Schäkkel an die in ausgebagerte Löcher versenkte Klötze aus armiertem Beton angeschlossen; ihre obren Enden sind ebenfalls mit Schäkkeln an die mit den vier durchgehenden Längsträgern vernieteten Kopfstücke befestigt. Das genaue Versetzen der je rund $8000 kg$ schweren Betonklötze, das Anbringen der Ketten am Boothaus, dessen Zentrierung auf den Zugangssteg und die genaue Einstellung der Ketten auf den richtigen Durchhang brachte mancherlei Schwierigkeiten mit sich, die jedoch sämtliche überwunden wurden und es hat eine anderthalbjährige Probezeit die Zweckmässigkeit der getroffenen Anordnungen bestätigt.“

*

Die Bauleitung des ganzen Boothaus-Baues lag in den Händen der Architekten Pflughard & Haefeli, Entwurf und Berechnung der Eisenbeton-Konstruktion stammen von den Ingenieuren Zehntner & Brenneisen (Zürich). Die Bauausführung besorgten Bosshard, Steiner & Cie. (Zürich), die auch die biologische Kläranlage entworfen und ausgeführt haben. Die Möblierung lieferten Knuchel & Kahl (Zürich); ihnen verdankt der Yacht-Club auch die Stiftung der zierlichen Damen-Garderobe-Einrichtung, die der knappen Raumverhältnisse wegen nicht photographiert werden konnte.

Der mehrfache Rahmen mit horizontal verschiebbarem und mit unverschiebbarem Balken.

von Ing. Robert Gsell-Heldt, z. Z. in Zürich.

(Schluss von Seite 67.)

III. Berechnung der bei einer Umtemperierung des Balkens von $\pm 20^\circ C$ entstehenden Momente und Schübe am Rahmen mit einseitig festgelagertem Balken.

Wie bereits in der Einleitung bemerkt, wurde diese Untersuchung seinerzeit von Dr. Ing. Max Ritter durchgeführt. Die Verschiebungen der einzelnen Pfeilerköpfe wurden bei einem Ausdehnungskoeffizienten $\omega = 0,000012$ für $1^\circ C$ zu

$s_I = 0,0024 m$ $s_{II} = 0,0053 m$ $s_{III} = 0,00816 m$
gefunden (Abbildung 9 a).

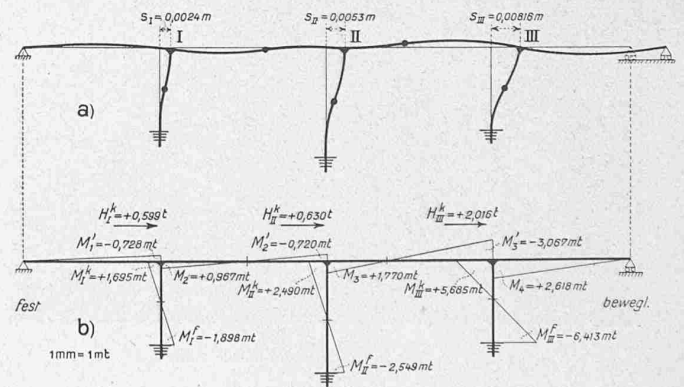


Abb. 9. Momente und Horizontalschübe am Rahmen mit festgehaltenem Balken infolge Temperatur-Erhöhung von $\pm 20^\circ C$.

Mittels der gleichen Methode wie unter Abschnitt II ergeben sich für diese Verschiebungen s_I , s_{II} und s_{III} die in Abbildung 9 b eingetragenen Resultate, mit denen die von Dr. Ing. Ritter auf analytisch-graphischem Wege gefundenen gut übereinstimmen.

Die natürlich bei einem Temperaturwechsel nicht ausbleibende Längenänderung der Pfeiler hat im allgemeinen bei relativ kurzen Pfeilern keinen grossen Einfluss auf die Biegemomente und wird deswegen auch meistens vernachlässigt; dieser Einfluss ist für beide Rahmensysteme

¹⁾ Vgl. «Ueber Windstärke» in Bd. LXVII, S. 140 (11. März 1916). Red.

gleich gross und kommt somit für unsere Untersuchung nicht in Betracht. Jedoch soll hier kurz, wengleich ausserhalb des Rahmens unserer Betrachtungen liegend, noch der Einfluss einer senkrechten Verschiebung von 0,01 m des linken Pfeilers I untersucht werden.

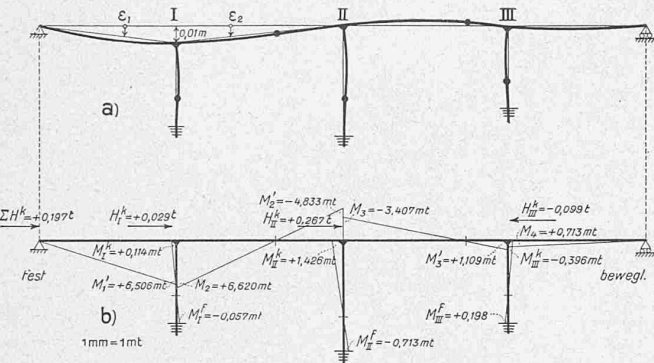


Abb. 10. Momente und Horizontalschübe am Rahmen mit festgehaltenem Balken infolge einer Senkung des linken Pfeilers um 0,01 m.

Die Grundgleichungen hierfür lauten nach Abbildung 10 a:

$$\begin{aligned} \epsilon_1 + \alpha_1' &= \alpha_2 + \epsilon_2 & \epsilon_2 + \alpha_2' &= \alpha_3 & \alpha_3' &= \alpha_4 \\ \beta_1^k &= \alpha_2 + \epsilon_2 & \beta_{II}^k &= \alpha_3 & \beta_{III}^k &= \alpha_4 \end{aligned}$$

oder nach dem Satze von der Neigung der elastischen Linie:

$$\frac{0,01}{10} - \frac{1}{EJ} \cdot \frac{10}{3} M_1' = -\frac{0,01}{12} + \frac{1}{EJ} [4 M_2 + 2 M_2'];$$

$$-\frac{1}{EJ_1} \cdot \frac{1}{4} \cdot 6 M_1^k = -\frac{0,01}{12} + \frac{1}{EJ} [4 M_2 + 2 M_2'];$$

$$-\frac{0,01}{12} - \frac{1}{EJ} [2 M_2 + 4 M_2'] = \frac{1}{EJ} [4 M_3 + 2 M_3'];$$

$$-\frac{1}{EJ_1} \cdot \frac{1}{4} \cdot 8 M_{II}^k = \frac{1}{EJ} [4 M_3 + 2 M_3'];$$

$$-\frac{1}{EJ} [2 M_3 + 4 M_3'] = \frac{1}{EJ} \cdot \frac{10}{3} M_4;$$

$$-\frac{1}{EJ_1} \cdot \frac{1}{4} \cdot 6 M_{III}^k = \frac{1}{EJ} \cdot \frac{10}{3} M_4.$$

Nach erfolgter Elimination der Pfeilermomente M^k anhand der allgemeinen Knotenpunktgleichung $M' + M^k = M$ erhält man wieder ein System von sechs einfachen Gleichungen, deren Lösung die unbekannteten Balkenmomente ergibt, aus denen dann wieder die Pfeilermomente und Horizontalschübe ermittelt werden. Die Resultate dieser Operation sind in Abbildung 10 b zur Darstellung gebracht und lassen erkennen, dass die Senkung eines Auflagers von wenigen Millimetern auf die Balkenmomente schon sehr empfindlich wirken kann, eine Erscheinung die ja dem kontinuierlichen gelenklosen Träger eigen ist. Im Falle, dass der Rahmen als solcher mit verschiebbarem Balken d. h. mit zwei frei beweglichen Endauflagern ausgebildet wäre, würden noch die von der Resultante der Horizontalschübe (Aktion) verursachten Zusätze zu ermitteln sein.

IV. Berechnung der bei einer Umtemperierung des Balkens von $\pm 20^\circ C$ entstehenden Momente und Schübe am Rahmen mit horizontal verschiebbarem (nicht festgehaltenem) Balken.

Bei symmetrischen Rahmen vollzieht sich die durch einen Temperaturwechsel entstehende Längenänderung des Balkens von der Rahmenmitte aus gleichmässig nach beiden Seiten. Eine Temperaturänderung von $\pm 20^\circ C$ verursacht an unserem Rahmen (Abbildung 11 a) eine Verschiebung der beiden Pfeilerköpfe I und III um $s = \pm 0,0029 m$ nach aussen bzw. nach innen, während der Pfeiler II vollständig in Ruhe bleibt. Die Tangente der Biegelinie im Punkte II verläuft somit horizontal, was zur Folge hat,

dass $M_2' = -\frac{1}{2} M_2$ sein muss. Zur Ermittlung der noch unbekannteten Momente M_1' und M_2 dienen die Gleichungen:

$$\begin{aligned} \alpha_1' &= \alpha_2 \\ \epsilon_1 + \beta_1^k &= \alpha_2 \end{aligned}$$

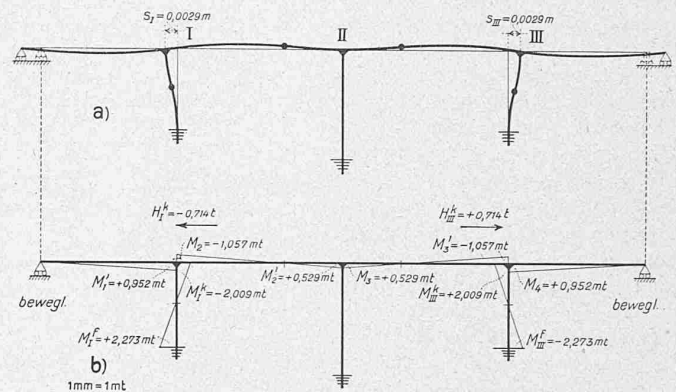


Abb. 11. Momente und Horizontalschübe am Rahmen mit verschiebbarem Balken infolge Temperatur-Erhözung von $+20^\circ C$.

oder
$$-\frac{1}{EJ} \cdot \frac{10}{3} M_1' = \frac{1}{EJ} \cdot \frac{1}{4} \cdot 12 M_2$$

$$-\frac{3}{2} \cdot \frac{0,0029}{6} - \frac{1}{EJ_1} \cdot \frac{1}{4} \cdot 6 M_1^k = \frac{1}{EJ} \cdot 3 M_2$$

Die Bedingung $M_1' + M_1^k - M_2 = 0$ führt sodann zu den beiden Bestimmungsgleichungen:

$$\begin{aligned} 10 M_1' + 9 M_2 &= 0 \\ 2 M_1' - 3 M_2 &= 5,075; \end{aligned}$$

ihre Auflösung ergibt

$$\begin{aligned} M_1' &= +0,952 mt \\ M_2 &= -1,057 mt \end{aligned}$$

Das Pfeilerkopfmoment beträgt

$$M_1^k = -2,009 mt;$$

der Horizontalschub

$$H_1^k = H_{1m}^k + H_{1s}^k = \frac{3}{2h} \cdot M_1^k + (-0,0029) \cdot \frac{3 \cdot E \cdot J_1}{h^3} = -0,714 t$$

und schliesslich das Pfeilerfüssmoment

$$M_1^f = -h \cdot H_1^k + M_1^k = +2,273 mt,$$

welche Ergebnisse in Abbildung 11 b dargestellt sind.

* * *

Die sinngemässe Zusammenstellung der in den Abschnitten I bis IV berechneten Momente gestattet uns nun, die Maximalmomenten-Diagramme für beide Rahmensysteme aufzuzeichnen, mittels welcher wir dann den unserer Aufgabe zugrunde gelegten Vergleich vornehmen können. Inbezug auf die Zusammenstellung der Pfeilermomente ist dabei hervorzuheben, dass beim Rahmen mit verschiebbarem Balken nicht immer dieselben Belastungsschemata, wie sie für den Rahmen mit festgehaltenem Balken in Frage kommen und leicht anhand der Biegelinien bestimmt werden können, die ungünstigsten sind, und hier die Zusätze infolge Pfeilerkopf-Verschiebung darüber Aufschluss geben, ob nicht noch ein weiteres Feld als belastet mit einzubeziehen oder umgekehrt eines der erstern zu entlasten ist.

Unter Verfolgung aller dieser Untersuchungen wurden die in den Diagrammen Abb. 12 und 13 (Seite 82) eingeschriebenen Höchstwerte ermittelt, wobei sich die mit Klammern versehenen Zahlen auf die Maximalmomente ohne Temperatureinflüsse beziehen. Ein Vergleich zeigt uns nun, dass die Höchstwerte (Temperatur unbegriffen) für den Rahmen mit festgehaltenem Balken (einseitig festes Endauflager) fast durchwegs grösser sind — bei Pfeiler III

